



Gorgan University of Agricultural  
Sciences and Natural Resources

## Food Processing and Preservation Journal

Print ISSN: 2423-3544

Online ISSN: 2423-3803



Iranian Association of Food Scientists  
and Technologists

### Gamma-aminobutyric acid production by *Lactobacillus brevis* NCL912 in whey enriched with glutamic acid

Somayeh Mohammadkhani<sup>1</sup>, Reza Rezaei Mokarram<sup>2\*</sup>, Mahmood Sowti Khiabani<sup>3</sup>,  
Samad Bodbodak<sup>4</sup>

<sup>1</sup> MSc student, Department of Food Science and Technology, Faculty of Agriculture, University of Tabriz, Tabriz, Iran

<sup>2</sup> Associate Professor, Department of Food Science and Technology, Faculty of Agriculture, University of Tabriz, Tabriz, Iran, Email: rmokarram@tabrizu.ac.ir

<sup>3</sup> Professor, Department of Food Science and Technology, Faculty of Agriculture, University of Tabriz, Tabriz, Iran

<sup>4</sup> Associate Professor, Department of Food Science and Technology, Ahar Faculty of Agriculture and Natural Resources, University of Tabriz, Tabriz, Iran

#### Article Info

#### ABSTRACT

##### Article type:

Research Full Paper

**Background and Objectives:** Gamma-aminobutyric acid (GABA) as a bioactive compound has a wide range of biological activities. Therefore, functional foods enriched with GABA have been widely considered by consumers. Whey is the most important waste product of the cheese-making industry and is considered a rich culture medium for probiotics. Among the various methods of GABA synthesis, GABA biosynthesis by fermentation using probiotics has been proposed as the simplest and safest method. Therefore, the aim of this study is to improve GABA production by *Lactobacillus brevis* NCL912 in whey enriched with different concentrations of glutamic acid.

##### Article history:

Received: 2024-11-25

Revised: 2025-1-12

Accepted: 2025-1-16

**Materials & Methods :** After preparing the culture medium from whey powder, different concentrations of glutamic acid (0, 250, 500, 1000 mg L<sup>-1</sup>) were added to it. Then, a suspension of *Lactobacillus brevis* NCL912 strain (containing 108 CFU/g) was inoculated into the whey samples and placed in an incubator at 37°C, and the antioxidant activity, total phenol, GABA, and bacterial viability were examined at 24, 48, and 72 h.

**Results:** The results showed that with the passage of time, the antioxidant activity increased, but the total phenol and GABA levels increased up to 48 hours and then decreased up to 72 h. With the increase in the concentration of glutamic acid, the antioxidant activity and GABA levels both increased first and then decreased, but the total phenol level increased. The passage of time and the increase in the concentration of glutamic acid had no effect on survival. Based on the results, the lowest and highest levels of GABA were obtained for samples with concentrations of 0 mg L<sup>-1</sup> - 24 h (401±1.1 mg L<sup>-1</sup>) and 1000 mg L<sup>-1</sup> -72 h (591.3±2.6 mg L<sup>-1</sup>). The results of the analysis of variance showed that the time factor had no significant effect on the level of GABA ( $P < 0.05$ ), but with the increase in the amount of glutamic acid, the level of GABA increased significantly ( $P \geq 0.05$ ). As the highest value was observed

---

at a concentration of 1000 mg L<sup>-1</sup>. Based on the results of analysis of variance and comparison of means, no significant difference was observed in the overall comparison of samples in terms of antioxidant activity, total phenol, GABA, and viability ( $P<0.05$ ), but only in the sample treated with a concentration of 0 mg L<sup>-1</sup> of glutamic acid after 24 h, the DPPH inhibition and viability were significant ( $P\geq 0.05$ ).

**Conclusion:** The results showed that the use of the respective strain in whey containing different concentrations of glutamic acid led to an increase in the amount of GABA. The samples also had better antioxidant activity, total phenols, and shelf life. Therefore, whey can be used to prepare a probiotic fermented drink enriched with this bioactive compound.

---

**Cite this article:** Mohammadkhani, S., Rezaei Mokarram, R., Sowti Khiabani, M., Bodbodak, S. 2025. Gamma-aminobutyric acid production by *Lactobacillus brevis* NCL912 in whey enriched with glutamic acid. *Food Processing and Preservation Journal*, 16(4), 21-42.



© The Author(s). DOI: 10.22069/fppj.2025.23013.1849  
Publisher: Gorgan University of Agricultural Sciences and Natural Resources

---

### تولید گاما آمینو بوتیریک اسید توسط لاکتوبراسیلوس برویس NCL912 در آب پنیر غنی شده با اسید گلوتامیک

سمیه محمدخانی<sup>۱</sup>, رضا رضایی مکرم<sup>۲\*</sup>, محمود صوتی خیابانی<sup>۳</sup>, صمد بدبدک<sup>۴</sup>

<sup>۱</sup> دانشجوی ارشد زیست فناوری مواد غذایی، گروه علوم و مهندسی صنایع غذایی، دانشکده کشاورزی دانشگاه تبریز، تبریز، ایران

<sup>۲</sup> دانشیار، گروه علوم و مهندسی صنایع غذایی، دانشکده کشاورزی دانشگاه تبریز، تبریز، ایران

رایانه‌ای: rmokarram@tabrizu.ac.ir

<sup>۳</sup> استاد، گروه علوم و مهندسی صنایع غذایی، دانشکده کشاورزی دانشگاه تبریز، تبریز، ایران

<sup>۴</sup> دانشیار، گروه علوم و مهندسی صنایع غذایی، دانشکده کشاورزی اهر، دانشگاه تبریز، تبریز، ایران

#### اطلاعات مقاله چکیده

##### نوع مقاله:

مقاله کامل علمی-پژوهشی

**سابقه و هدف:** گاما آمینو بوتیریک اسید (گابا) به عنوان ترکیب زیست فعال دارای طیف گسترده‌ای از فعالیت‌های زیستی است. بنابراین غذاهای فراسودمند غنی شده با گابا به طور گسترده مورد توجه مصرف کنندگان قرار گرفته است. در میان روش‌های مختلف سنتز گابا، بیوسنتز گابا به روش تخمیر توسط پروبیوتیک‌ها ساده‌ترین و امن‌ترین روش مطرح شده است. آب پنیر مهم‌ترین ضایعات صنعت پنیر سازی است و به عنوان محیط کشت غنی برای پروبیوتیک‌ها مطرح می‌باشد. از این‌رو هدف این تحقیق، بهبود تولید گابا توسط لاکتوبراسیلوس برویس NCL912 در آب پنیر غنی شده با غلظت‌های مختلف اسید گلوتامیک است.

تاریخ دریافت: ۱۴۰۳/۰۹/۰۵

تاریخ ویرایش: ۱۴۰۳/۱۰/۲۳

تاریخ پذیرش: ۱۴۰۳/۱۰/۲۷

**مواد و روش‌ها:** بعد از آماده‌سازی محیط کشت از پودر آب پنیر، غلظت‌های مختلف اسید گلوتامیک ( $L^{-1}$ ,  $0, 250, 500, 1000$ ) به آن اضافه شد. در ادامه سوسپانسیون سویه لاکتوبراسیلوس برویس NCL912 (حاوی  $CFU/g 10^8$ ) به نمونه‌های آب پنیر تلقیح و در انکوباتور با دمای ۳۷ درجه سلسیوس قرار داده شد و در بازه‌های زمانی ۲۴، ۴۸ و ۷۲ ساعت میزان فعالیت آنتی اکسیدانی، فنول کل، گابا و زنده مانی باکتری‌ها مورد بررسی قرار گرفت.

##### واژه‌های کلیدی:

گابا

لاکتوبراسیلوس برویس NCL912

آب پنیر

یافته‌ها: نتایج نشان دادند که با گذشت زمان میزان فعالیت آنتی اکسیدانی افزایش یافت اما میزان فنول کل و گابا تا ۴۸ ساعت روند صعودی و سپس تا ۷۲ ساعت روند نزولی داشتند. با افزایش غلظت اسید گلوتامیک میزان فعالیت آنتی اکسیدانی و گابا در هر دو ابتدا افزایش سپس کاهش را نشان دادند اما میزان فنول کل افزایش یافت. گذشت زمان و افزایش غلظت اسید گلوتامیک تاثیری بر زنده مانی نداشت. بر اساس نتایج کمترین و بیشترین میزان گابا به ترتیب مربوط به نمونه‌های غلظت‌های  $L^{-1}$  صفر-۲۴ ساعت ( $mg L^{-1} 1/1 \pm 1/10$ ) و  $72-1000 mg L^{-1}$

ساعت ( $L^{-1} \text{ mg} \pm 2/6$ ) ۵۹۱/۳ به دست آمد. نتایج آنالیز واریانس نشان داد که فاکتور زمان اثر معنی داری بر میزان گابا ندارد ( $P > 0.05$ ). اما با افزایش مقدار گلوتامیک اسید مقدار گابا به صورت معنی دار افزایش یافت ( $P \leq 0.05$ ). به طوریکه بیشترین مقدار در غلظت  $L^{-1} \text{ mg}$  ۱۰۰۰ مشاهده شد. بر اساس نتایج آنالیز واریانس و مقایسه میانگین در مقایسه کلی نمونه ها از لحاظ میزان فعالیت آنتی اکسیدانی، فنول کل، گابا و زنده مانی، اختلاف معنی داری مشاهده نشد ( $P > 0.05$ ) اما تنها در نمونه تیمار شده با غلظت  $L^{-1} \text{ mg}$  صفر اسید گلوتامیک پس از ۲۴ ساعت میزان مهار DPPH و زنده مانی معنی دار ( $P \leq 0.05$ ) بود.

**نتیجه گیری:** نتایج نشان داد که استفاده از سویه مربوطه در آب پنیر حاوی غلظت های متفاوت اسید گلوتامیک منجر به افزایش میزان گابا شد. همچنین نمونه ها از میزان فعالیت آنتی اکسیدانی، فنول کل و زنده مانی بهتری برخوردار بودند. بنابراین می توان از آب پنیر برای تهیه نوشیدنی تخمیری پروریوتیکی غنی شده با این ترکیب زیست فعال استفاده کرد.

استناد: بزی، رؤیا؛ حسینی قابوس، سید حسین؛ فدوی، ابوالفضل. (۱۴۰۳). ارزیابی قابلیت آنتی اکسیدانی پروتئین هیدرولیز شده دانه کدو تحت تأثیر هیدرولیز آنزیمی ساده و ترکیبی توسط پیپسین و تریپسین. فرآوری و نگهداری مواد غذایی، ۲۱-۴۲، (۴)، ۱۶.



© نویسنده‌گان.

DOI: 10.22069/fppj.2025.23013.1849

ناشر: دانشگاه علوم کشاورزی و منابع طبیعی گرگان

هماننگی شبکه‌های عصبی موضعی و عملکرد نواحی مغزی ایقامتی کند<sup>(۶)</sup>. گابا به صورت کلی توسط آنزیم گلوتامات دکربوکسیلاز طی واکنش دکربوکسیلاسیون غیرقابل برگشت ال-گلوتامات تولید می‌شود و جهت انجام این واکنش حضور کوفاکتور پیروکسال فسفات ضروری است<sup>(۷)</sup>. امروزه گابا به دلیل پتانسیل زیستی بسیار، کاربردهایی وسیع در توسعه غذاهای فراسودمند پیدا کرده است. این ترکیب در تنظیم فشارخون و ضربان قلب، کنترل احساس درد و هیجان، درمان اختلالات عصبی و کاهش علایم آزاییمر بسیار مؤثر است. همچنین سبب تحریک ترشح انسولین از پانکراس شده و در تنظیم هورمون رشد و بهبود سنتز پروتئین‌های مغز نیز نقش دارد<sup>(۸)</sup>. از این‌رو در پزشکی و حتی صنایع غذایی مورد توجه زیادی قرار گرفته است.

با افزایش آگاهی عمومی در مورد فرآیندهای طبیعی، استفاده از فناوری‌های غنی‌سازی برای افزایش محتوای گابا در غذاها به جای افزودن بروزنرا می‌تواند مقبولیت مصرف کنندگان آگاه از سلامت را افزایش دهد. محققان در مورد تبدیل زیستی گابا تحقیق کرده‌اند و مکانیسم تبدیل زیستی آن را با استفاده از باکتری اسیدلاکتیک به دلیل وضعیت ایمن آن‌ها روشن کرده‌اند همچنین وجود آنزیم گلوتامیک اسید دکربوکسیلاز و دارا بودن مکانیسم سنتز گابا در آن‌ها توسط محققان اثبات شده است<sup>(۹)</sup>. باکتری‌های اسیدلاکتیک (LAB) از مهم‌ترین باکتری‌های موجود در فلور طبیعی بدن می‌باشد. باکتری‌های اسیدلاکتیک معمولاً غیر هوایی و غیر اسپورزا و درکل کوکسی یا باسیلی هستند. استفاده از باکتری‌های اسیدلاکتیک با پتانسیل پروپیوتیکی بهترین انتخاب، نه فقط برای بالا بردن تعداد میکروب‌های مفید در فرآورده‌های غذایی بلکه به عنوان میکروب‌های سازگار طبیعی با محیط روده می‌باشد<sup>(۱۰)</sup>.

## مقدمه

پساب کارخانه‌های تولیدکننده فرآورده‌های لبنی به‌ویژه صنایع پنیرسازی از دیدگاه زیستمحیطی مسئله‌ای پر اهمیت است. آب پنیر محصول جانبی اصلی پنیر سازی، مایع زردرنگ است که از رسوب و حذف کازئین شیر در فرآیند تولید پنیر حاصل می‌شود<sup>(۱)</sup>. آب پنیر با توجه به ویژگی‌های تغذیه‌ای (نظیر پروتئین‌ها، ویتامین‌ها، مواد معدنی و غیره) و فراسودمندی به عنوان ترکیبی مناسب در فرمولاسیون نوشیدنی‌ها و غذا شناخته شده است<sup>(۲)</sup>. به همین دلیل امروزه از آب پنیر و فرآورده‌های آن در فرمولاسیون محصولات غذایی ازجمله فرآورده‌های گوشتی، لبنی، نانوایی و تولید نوشیدنی بر پایه آب پنیر استفاده می‌شود<sup>(۳)</sup>. در سالیان اخیر با توجه به بررسی ترکیبات آب پنیر تأثیر مثبت آن به عنوان غذی کننده در محیط فعالیت باکتری‌های پروپیوتیک به اثبات رسیده است و از آن به‌منظور تحریک رشد باکتری‌های پروپیوتیک استفاده شده است<sup>(۴)</sup>. بنابراین استفاده از سویه‌های میکروبی مناسب به‌منظور به کارگیری بهینه این منع ارزان در جهت تولید انواع فرآورده‌های بیولوژیکی در کاهش هزینه‌های تولید و کاهش آسودگی‌های زیستمحیطی امری ضروری است<sup>(۵)</sup>.

گاما آمینو بوتیریک اسید (گابا) ترکیب زیست فعال پروتئینی با خواص فراسودمند است که تقریباً در بافت‌های اغلب میکروارگانیسم‌ها، جانوران و گیاهان یافت می‌شود<sup>(۷)</sup>. گابا اسیدآمینه غیر پروتئینی ۴ کربنی است. گروه آمین موجود در گابا به جای کربن آلفا روی کربن گاما قرار دارد که باعث می‌شود از گابا در سنتز پروتئین استفاده نشود. این ترکیب زیست فعال در گیاهان و باکتری‌ها نقش متابولیکی در چرخه کربس را ایقامتی کند و در مهره‌داران به عنوان فرستنده سیگنال عصبی عمل می‌کند و نقش مهمی را در

(۸). اسید آمینه گلوتامیک به عنوان پیش ساز گابا حدود ۱۵ درصد ترکیب اسیدهای آمینه پروتئین های آب پنیر را تشکیل می دهد (۱۷). بنابراین حضور این نوع پروتئین ها نقش اساسی را در تولید گابا طی تخمیر توسط میکرو اگانیسم های مربوطه در استفاده از آب پنیر به عنوان محیط کشت تخمیر ارائه می دهد. زارعی و همکاران (۲۰۲۰) محتوای گابا در نوشیدنی پروپیوتیکی بر پایه پروتئین آب پنیر حاوی کنسانتره موز و توت فرنگی را بررسی کردند. این محققان گزارش کردند که نوشیدنی پروتئین آب پنیر حاوی کنسانتره موز نگهداری شده در دمای ۲۵ درجه سلسیوس بالاترین میزان گابا را دارا بود (۱۸). در نوشیدنی بر پایه آب پنیر شیرین غنی شده با *E. malodoratus SJC25* بالاترین میزان تبدیل گلوتامیک اسید به گابا حاصل شد (۱۹).

با توجه به تأثیرات مفید گابا در سال های اخیر تلاش های زیادی برای غنی سازی غذاهای تخمیر شده با پروپیوتیک ها به عنوان تولید کننده های اصلی گابا انجام شده است. بیوستر گابا در مواد غذایی می تواند جایگزین ستر شیمیایی این ترکیب باشد. بنابراین استفاده از سویه های پروپیوتیک تولید کننده گابا به عنوان مایه تلقیح در فرآیندهای تخمیری می تواند در تولید گابا استفاده شود و محصولی فراسودمند با خواص تغذیه ای مطلوب را به مصرف کننده ارائه دهد. هدف از این پژوهش تولید گابا توسط سویه لاکتو باسیلوس بروویس *NCL912* در آب پنیر غنی شده با غلظت های متفاوت اسید گلوتامیک است.

## مواد و روش ها

**مواد مورد استفاده:** محیط کشت Broth MRS (شرکت مرک آلمان)، Agar MRS (شرکت مرک آلمان)، سویه لاکتو باسیلوس بروویس *NCL912* از سازمان پژوهش های علمی و صنعتی، مرکز ذخایر ژنتیکی و صنعتی ایران تهیه شدند. پودر آب پنیر

تقریباً اکثر گونه های باکتریایی تولید کننده گابا از غذاهای سنتی تخمیری همانند کیمچی، پنیر های سنتی، نوشیدنی های جلبک قرمز، خمیر ترش گندم، پائوکای و ماهی تخمیری (غذای سنتی ژاپنی) جداسازی شده اند که ویژگی مشترک آن ها pH اسیدی و غلظت بالای گلوتامات است (۱۱). توانایی تولید گابا، در میان سویه های مختلف باکتری های اسید لاکتیک متفاوت است و به طور قابل توجهی تحت تأثیر شرایط محیط کشت و ترکیب متوسط آن می باشد (۱۲). بنابراین بهینه سازی شرایط برای افزایش میزان گابا مهم است. به طور طبیعی، همه سویه های موجود در یک گونه نمی توانند گابا تولید کنند زیرا توانایی آن به حضور ژن های گلوتامیک اسید دکربوکسیلاز و ضد پورتر گلوتامات / گابا بستگی دارد (۱۳). گونه های غالب این خانواده شامل ائروموناس، کوریننه باکتر، انتروکوک، لاکتو باسیلوس، لاکتوکوکوس، لئونکنستوک، پلادیوکوکوس و استرپتوكوک می باشد. در بین گونه های مختلف لاکتو باسیل ها (از جمله لاکتو باسیلوس بروویس و لاکتو باسیلوس پلاتاروم) از بیشترین میزان تولید گابا برخوردار هستند (۱۴). برای افزایش میزان گابا باید سویه هایی با میزان فعالیت بالای آنزیم گلوتامیک اسید دکربوکسیلاز برای استفاده در تخمیر انتخاب شوند. زمان کشت، غلظت گلوتامات، دمای محیط کشت و pH نیز از عوامل کلیدی و مؤثر در تولید گابا می باشند (۱۵). محدوده pH و دمای مؤثر برای تولید گابا توسط باکتری های اسید لاکتیک به ترتیب در محدوده ۴-۵ و ۲۵-۴۰ درجه سلسیوس گزارش شده است (۱۶). همچنین غلظت گلوتامات در ماده غذایی باید به اندازه کافی بالا باشد. اما در غیر این صورت می توان با گلوتامیک اسید خارجی، افزودن پروتئاز جهت هیدرولیز پروتئین و تولید گلوتامیک اسید و یا استفاده همزمان از سویه هیدرولیز کننده پروتئین در ماده غذایی، کمبود گلوتامیک اسید را در آن جبران کرد

آماده‌سازی پودر آب پنیر به عنوان محیط کشت: ۱۰ g پودر آب پنیر دمینزال (میزان پروتئین ۱۰ درصد) توزین و در ۱۰۰ mL آب حل شد. سپس تنظیم pH به مدت ۱۵min در دمای ۱۲۱ درجه سلسیوس (۴/۵-۴/۵) با اسیدسولفوریک N/۱۰ داخل اتوکلاو حرارت داده شد تا پروتئین‌ها دناتوره شوند. سپس رسوب حاصله با استفاده از سانتریفیوژ (۱۲۰۰۰×g، ۱۵min) جدا گردید. در ادامه pH سوپرnatant با محلول سود ۱ N و با استفاده از pH متر (Metrohm, UK pH Lab, 827) روی ۷ تنظیم و مجدداً در ۱۲۱ درجه سلسیوس به مدت ۱۵min استریل و به عنوان محیط کشت استفاده شد. نهایتاً در آب پنیر اتوکلاو شده اگرچه یکسری از پروتئین‌ها دناتوره شدند ولی پروتئین‌های مقاوم به حرارت مانند گلیکوماکروپپتیدها در محیط کشت نهایی باقی می‌مانند بعلاوه طی فرآیند حرارت دهی اسیدهای آمینه گوگرددار آزاد و پتانسیل احیا را کاهش می‌دهند بنابراین محیط مناسب برای رشد و قابلیت زیستی لاکتوپاسیلوس برویس NCL912 فراهم می‌کنند. سپس به محیط کشت حاصل تحت شرایط استریل اسید گلوتامیک اضافه و محیط کشت‌هایی با غلظت  $1\text{ mg L}^{-1}$ ،  $250\text{ }\mu\text{g}$ ،  $500\text{ }\mu\text{g}$ ،  $1000\text{ }\mu\text{g}$  اسید گلوتامیک تهیه شدند (۲۲، ۲۳). پس از آماده‌سازی محیط کشت آب پنیر، تعداد حدوداً  $10^8$  باکتری زنده و فعال به عنوان مایه تلقیح میکروبی توسط سرنگ استریل به  $10\text{ mL}$  محیط کشت اضافه و پس از همگن سازی با شیکر، در انکوباتور (Memmert, Germany) با دمای ۳۷ درجه سلسیوس قرار داده شد (۲۴).

اندازه گیری فعالیت آنتی اکسیدانی: برای ارزیابی فعالیت آنتی اکسیدانی از روش مهار رادیکال - دی فنیل - ۱-پیکریل هیدرازیل (DPPH) استفاده شد. برای این منظور نمونه‌های کشت شده در محیط کشت آب پنیر پس از سانتریفیوژ شدن (۱۵ min, ۱۲۰۰۰×g) از مایع رویی به میزان  $1\text{ mL}$  برداشته و به آن  $1\text{ mL}$

(کنسانتره پروتئین آب پنیر، بالای ۷۰٪) ساخت شرکت پگاه از بازار خریداری شد. اسید گلوتامیک، کربنات سدیم، معرف فولین، اتانول ۹۵٪ (DPPH) و ۲-دی فنیل، ۱-پیکریل هیدرازیل، تری اتیل کلرواستیک، استات سدیم، اسید استیک، تری اتیل آمین، اسیتونیتریل، هیدروکسید سدیم، آفتال دی آلدھید، ۲-مرکاپتو اتانول از شرکت مرک آلمان تهیه شدند.

### روش مورد استفاده

تهیه پیش کشت: پس از آماده‌سازی محیط کشت MRS برات، پودر لیوفلیز سویه لاکتوپاسیلوس برویس NCL912 به محیط کشت استریل MRS برات منتقل و توسط شیکر لوله همگن شد. سپس در انکوباتور با درجه حرارت ۳۷ درجه سلسیوس به مدت ۲۴ ساعت نگهداری شد تا توده سلولی در محیط مایع دیده شود (۲۰).

تلقیح میکروبی: برای تهیه مایه‌های تلقیح اولیه فالکون‌های حاوی کشت‌های باکتریایی با سرعت  $12000\text{ }\times g$  به مدت ۱۰min ۱۲۰۰۰×g باکتری‌های تهشین شده با استفاده از سرم فیزیولوژی دو بار شستشو و از آن سوسپانسیون تولید شد. در نهایت سوسپانسیون میکروبی حاصله به عنوان مایه تلقیح به میزان  $2\text{ mL}$  از یک کشت بر مبنای استاندارد نیم مک فارلند مورد استفاده قرار گرفت (۲۱).

تعیین میزان تلقیح به روش کدورت سنجی نیم مک فارلند: برای تعیین تعداد باکتری‌ها در محیط کشت آب پنیر از روش کدورت سنجی نیم مک فارلند استفاده شد. جذب استاندارد نیم مک فارلند و سوسپانسیون میکروبی در طول موج  $600\text{ nm}$  قرائت شد. میزان جذب باید برای استاندارد و سوسپانسیون میکروبی تهیه شده بین  $0/1$  و  $0/08$  باشد که برابر با سوسپانسیون باکتریایی معادل  $10^8 \times 1/5\text{ cfu}$  بود (۲۲).

فاز متحرک از دو بافر A (استات سدیم  $0.02\text{M}$ ) و pH تنظیم شده روی  $7/3$  با اسید استیک،  $200\mu\text{L}$  اتیل آمین در هر  $1000\text{mL}$  محلول) و بافر B (اسیتونیتریل با درجه کروماتوگرافی) تشکیل شده بود.  $80\mu\text{L}$  عصاره نمونه‌ها با  $400\text{mL}$  از محلول  $0.4\text{M}$  بافر نمک بورات (pH تنظیم شده روی  $10/4$ ) با استفاده از محلول هیدروکسید سدیم  $(40\%)/80\mu\text{L}$  واکنش‌گر مشتق سازی (با حل کردن  $10\text{mg}$  آفتال دی آلدئید  $\text{D,L-}\alpha,\beta\text{-هیدرو-}\gamma,\delta\text{-برونز-کاپروکائیکالو}\text{H}_2\text{LDPPH}$   $2/5\text{mL}$ ) اسیتونیتریل (جدب ملکیت اتفاق به مدت  $5\text{min}$  جهت انجام واکنش مخلوط نشانه  $100\text{mL}$ ) از محلول مشتق سازی شده با استفاده از سرنگ مخصوص به ستون  $\times 250\text{mm}$ ،  $5\mu\text{m}$  C18 Hichrom HIRPB-250A)، دستگاه HPLC تزریق شد و با فاز متحرک حاوی بافر A و B (به نسبت  $7/7:20/80$ ) با سرعت جریان  $0.8\text{mL}/\text{min}$  بر دقیقه در  $40$  درجه سلسیوس عبور داده شد. مقدار گابا با استفاده از دتکتور UV/Vis در طول موج  $338\text{nm}$  تعیین شد.

**بررسی زنده‌مانی:** تعداد سلول‌های زنده مانده باکتری پریویوتیک در هر یک از نمونه‌ها بلا فاصله پس از آماده‌سازی نمونه‌ها طی  $3$  روز نگهداری در انکوباتور (هر  $24$  ساعت یکبار) با شمارش باکتریایی نمونه‌ها به روش مرتضویان و همکاران ( $2006$ ) اندازه‌گیری شد. در این مجموعه سوپانسیون‌های سلولی توسط MRS کشت پورپلیت رقت مناسب در محیط کشت آگار انجام و پلیت‌ها در  $37$  درجه سلسیوس به مدت  $72$  ساعت در شرایط بی‌هوایی انکوباتور شده و شمارش شدند ( $29$ ).

**طرح آماری و نرم افزارهای مورد استفاده:** در این مطالعه اثر فاکتورهای زمان ( $24$ ،  $48$  و  $72$  ساعت) و غلظت گلوتامات سدیم ( $\text{L}^{-1}$ )  $0.500$ ،  $250$ ،  $50$ ) بر شاخص‌های زنده‌مانی باکتری‌ها، ظرفیت آنتی‌اکسیدانی و ترکیبات زیست‌فعال تولید شده توسط

محلول DPPH اضافه و به مدت زمان  $30\text{ min}$  در تاریکی در دمای اتاق استراحت داده شد. برای نمونه شاهد به جای سوپرناتانت از  $1\text{ mL}$  آب استفاده شد. میزان جذب هر کدام از نمونه‌ها در طول موج  $517\text{ nm}$  با استفاده از دستگاه اسپکتروفوتومتر (Unico, USA, UV-Vis 2100) اندازه‌گیری شد. فعالیت آنتی‌اکسیدانی به عنوان درصد مهار رادیکال آزاد DPPH با استفاده از رابطه زیر محاسبه شد ( $26$ ):

$$\frac{\text{آندازه‌گیری فنول کل}}{\text{آندازه‌گیری فنول کل}} \times 100 = \frac{\text{آندازه‌گیری فنول کل}}{\text{آندازه‌گیری فنول کل}} \times 100$$

اندازه‌گیری فنول کل: برای اندازه‌گیری مقدار فنول کل از روش فولین- سیتوکالیو استفاده شد. به  $1\mu\text{L}$   $300\text{ مایع رویی، }1\mu\text{L}\text{ آب مقطر اضافه شد. بعد هم زدن، }1\mu\text{L معرف فولین }10\%/\text{mL}$  اضافه شد. بعد از سپری شدن  $300\mu\text{L}$  کربنات سدیم اشباع ( $7/5$ ) اضافه شد. پس از نگهداری مخلوط حاصل به مدت  $30\text{ min}$  در محل تاریک و در دمای اتاق، میزان جذب در طول موج  $750\text{ nm}$   $750\text{ nm}$  خوانده شد و به صورت  $\mu\text{g}$  معادل اسید گالیک در هر  $1\text{ mL}$  گزارش شد ( $27$ ).

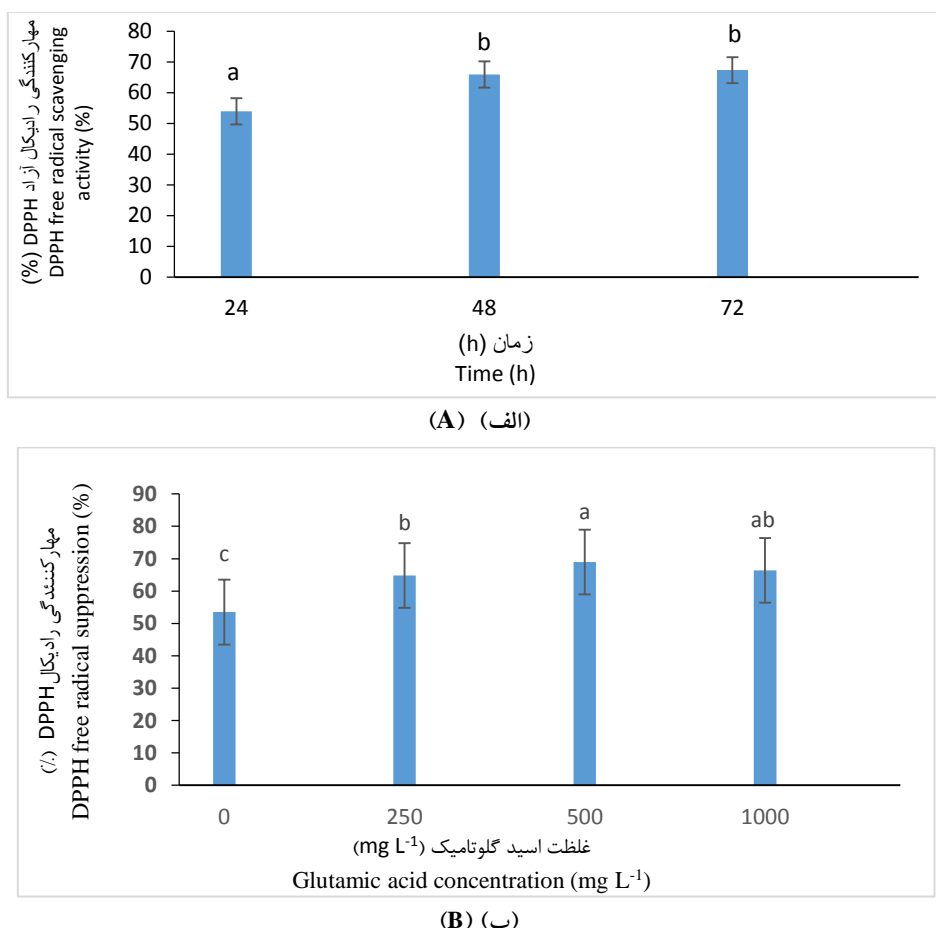
**اندازه‌گیری گابا:** مقدار گابا توسط روش لیو و همکاران ( $2014$ ) اندازه‌گیری شد. برای این منظور  $0.5\text{mL}$  نمونه با  $5\text{mL}$  آب مخلوط شد و سپس به اسید مخلوط و به مدت  $1\text{ min}$  هم‌زده شد و سپس به مدت  $2$  ساعت در  $40$  درجه سلسیوس جهت استخراج گابا نگهداری شد و با استفاده از دستگاه سانتریفیوژ با  $10000\text{ rpm}$  به مدت  $15\text{ min}$  به مدت  $10000\text{ rpm}$  شد و فاز مایع بالایی با استفاده از فیلتر  $0.45\mu\text{m}$  صاف شد. غلظت گابا در عصاره استخراج شده توسط دستگاه HPLC (مدل Prominence، ساخت ژاپن) و بعد مشتق سازی با آفتال دی آلدئید آنالیز شد ( $28$ ).

میزان فعالیت آنتی اکسیدانی معنی دار ( $P \leq 0.05$ ) بود. نتایج مقایسه میانگین اثر زمان و غلظت اسید گلوتامیک در شکل ۱ آورده شده است. می توان مشاهده کرد که با گذشت زمان تا ۴۸ ساعت فعالیت مهارکنندگی به طور معنی دار افزایش یافت ( $P \leq 0.05$ ), ولی بین زمان ۴۸ و ۷۲ ساعت اختلاف معنی دار وجود نداشت ( $P > 0.05$ ) (شکل ۱ الف). همچنین بیشترین مقدار فعالیت مهارکنندگی رادیکال های آزاد DPPH مربوط به تیمار اسید گلوتامیک  $500 \text{ mg L}^{-1}$  بوده و کمترین مقدار مربوط به نمونه شاهد بود (شکل ۱ ب).

باکتری لاکتوباسیلوس بروویس *NCL912* در قالب طرح کاملاً تصادفی به روش آزمایش ها فاکتوریل مورد تجزیه و تحلیل قرار گرفت. همه تیمارها در سه تکرار انجام شد. اثرات اصلی و متقابل فاکتورهای اعمال شده با روش آنالیز واریانس (ANOVA) و مقایسه میانگین تیمارها با روش حداقل میانگین مربعات در سطح احتمال ( $P < 0.05$ ) انجام گرفت. آنالیزهای آماری با نرم افزارهای SPSS نسخه ۲۰ و نمودارها با استفاده از نرم افزار Excel رسم شد.

## نتایج و بحث

**فعالیت آنتی اکسیدانی:** نتایج آنالیز واریانس نشان داد که اثرات اصلی زمان و غلظت اسید گلوتامیک بر



شکل ۱- تاثیر (الف) زمان و (ب) غلظت اسید گلوتامیک بر توان مهارکنندگی رادیکال های آزاد DPPH

Figure 1. Effect of (A) time and (B) glutamic acid concentration on the scavenging power of DPPH free radicals حروف لاتین کوچک در هر ستون نشان دهنده اختلاف معنی دار بین تیمارها است ( $P \leq 0.05$ ).

۷۲ ساعت (۷۶/۰۷٪) مشاهده شد. فعالیت مهار DPPH در پژوهش حاصل می‌تواند ناشی از پروتئین‌های آب پنیر از جمله لاکتوگلوبولین و لاکتوالبومین باشد که دارای خواص آنتی‌اکسیدانی هستند (۳۰). همچنین ترکیبات بیولوژیکی مانند پپتیدهای زیست فعال که در هنگام تخمیر توسط فرآیند پروتئولیتیک تولید می‌شوند. علاوه بر ارزش تغذیه‌ای فعالیت آنتی‌اکسیدانی نیز دارند (۳۱).

نتایج مقایسه میانگین بین تیمارها نشان داد (جدول ۱) که با گذشت زمان در همه غاظت‌های اسید گلوتامیک فعالیت آنتی‌اکسیدانی به طور معنی دار افزایش یافت ( $P \leq 0.05$ ). همچنین با افزایش غاظت اسید گلوتامیک تا  $500 \text{ mg L}^{-1}$  در محیط کشت در همه زمان‌های مورد بررسی، فعالیت آنتی‌اکسیدانی افزایش و سپس کاهش یافت (جدول ۱). کمترین و بیشترین فعالیت آنتی‌اکسیدانی به ترتیب مربوط به نمونه شاهد-۲۴ ساعت (۴۲/۵۳٪) و  $500 \text{ mg L}^{-1}$ -

جدول ۱- اثر غاظت اسید گلوتامیک و زمان بر فعالیت آنتی‌اکسیدانی محیط کشت آب پنیر حاوی لاکتوپاسیلوس برویس NCL912

Table 1. Effect of glutamic acid concentration and time on the antioxidant activity of whey culture medium containing *Lactobacillus brevis* NCL912

غاظت اسید گلوتامیک ( $\text{mg L}^{-1}$ )				زمان (h)	نوع باکتری (Type of bacteria)
Glutamic acid concentration ( $\text{mg L}^{-1}$ )	۱۰۰	۵۰۰	۲۵۰		
۵۳/۷۰ ± ۰/۸۳ <sup>d</sup>	۵۹/۵۰ ± ۲/۵۱ <sup>cde</sup>	۵۹/۹۷ ± ۱/۱۸ <sup>cde</sup>	۴۲/۵۳ ± ۲/۷۶ <sup>f*</sup>	۲۴	لاکتوپاسیلوس برویس NCL912
۶۶/۲۷ ± ۰/۳۳ <sup>bc</sup>	۶۹/۶۰ ± ۲/۲۷ <sup>ab</sup>	۶۶/۰۳ ± ۲/۱۳ <sup>bed</sup>	۵۷/۷۳ ± ۲/۶۴ <sup>de</sup>	۴۸	( <i>Lactobacillus brevis</i> NCL912)
۶۹/۸۳ ± ۰/۸۸ <sup>ab</sup>	۷۶/۰۷ ± ۴/۱۸ <sup>a</sup>	۶۶/۶۰ ± ۲/۸۱ <sup>bc</sup>	۵۶/۸۷ ± ۳/۷۲ <sup>d</sup>	۷۲	

\* حروف لاتین کوچک در هر ستون نشان‌دهنده اختلاف معنی دار بین تیمارها است ( $P \leq 0.05$ ).

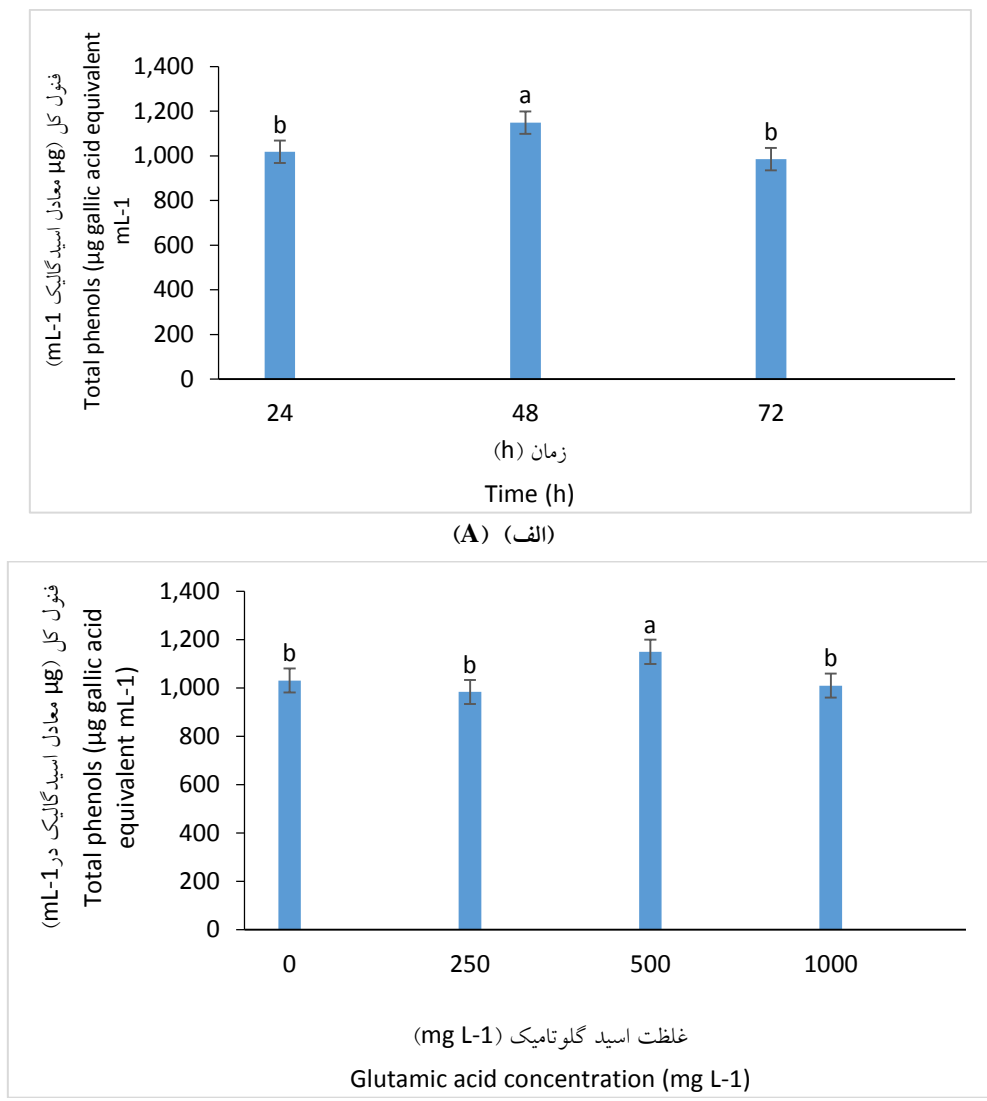
اسید به متابولیت‌های واسط دیگری تبدیل و وارد چرخه اسیدسیتریک می‌شود که در نهایت می‌تواند باعث افزایش سنتز ترکیبات فنولی شود و ظرفیت آنتی‌اکسیدانی را افزایش دهد. از طرف دیگر کاهش فعالیت آنتی‌اکسیدانی براساس مهار رادیکال DPPH بعد از ۴۸h تخمیر را می‌توان به تجزیه توالی‌های آنتی‌اکسیدانی (ترکیبات فنولی، فلاونوئیدی و پپتیدهای زیست فعال) در طی فرآیند تخمیر نسبت داد (۴۶). کاهش فعالیت آنتی‌اکسیدانی در طول زمان تخمیر به افزایش تخریب ترکیبات فنولی نسبت داده می‌شود همچنین می‌تواند به علت افزایش واکنش بین پروتئین‌ها و پلی‌فنول‌ها باشد (۳۴). در تحقیقی روی فعالیت آنتی‌اکسیدانی ماست تهیه شده از شیر سویا و گردی آمریکایی، فعالیت آنتی‌اکسیدانی بالاترین ماست نسبت به نمونه شاهد به وجود فعالیت

علاوه بر این افزایش فعالیت آنتی‌اکسیدانی در طول تخمیر به علت آزادسازی آگیلکون ایزووفلاون‌ها از طریق عمل کاتالیزوری فعالیت بتا-گلوکوزیداز و همچنین آنتی‌اکسیدانی‌های درون‌سلولی میکرووارگانیسم‌ها می‌باشد (۳۲). اسیدلاکتیک تولید شده در طول زمان تخمیر و رشد و زنده‌مانی میکرووارگانیسم‌ها عامل اصلی تفاوت در میزان مهارکنندگی رادیکال‌های آزاد در طی فرآیند تخمیر گزارش شده است. به عبارتی هرچه میزان اسیدلاکتیک تولید شده و زنده‌مانی میکرووارگانیسم‌ها بیشتر باشد در نهایت ترکیبات فنولی بیشتری آزاد می‌شوند در نتیجه سبب افزایش میزان فعالیت مهارکنندگی رادیکال‌های آزاد می‌گردد (۳۳). علاوه بر این پس از تبدیل گلوتامیک اسید به گاما آمینو بوتیریک اسید در داخل سلول، گاما آمینو بوتیریک

فعالیت آنتی اکسیدانی در حین تخمیر شیر حاوی فندق، تجمع فنل و پروتئولیز بیان شد (۴۴). کرباسی و همکاران (۲۰۱۵) در تولید نوشیدنی تخمیری پروبیوتیکی بر پایه شیره خرما نشان دادند که با افزایش زمان تخمیر میزان فعالیت آنتی اکسیدانی نمونه ها افزایش یافته است (۳۸). چون در شرایط pH اسیدی به علت پلیمریزاسیون ترکیبات پلی فنولی و همچنین آنزیم های باکتری های اسیدلاکتیک پیتیدهای کوچک با فعالیت آنتی اکسیدانی ایجاد می گردد. کیتی بونچاکول و همکاران (۲۰۲۱)، در تولید نوشیدنی پروبیوتیکی تخمیری حاوی سویه لاکتوپاسیلوس پنتوسوس D3۹ پس از نگهداری ۳۰ روزه اشاره کردند که فعالیت مهاری FRAP و ORAC (به ترتیب  $58/33 \mu\text{mol TE}/100 \text{ mL}$  و  $431/14 \mu\text{mol TE}/100 \text{ mL}$ ) به طور قابل توجهی کاهش یافت در حالی که فعالیت مهار رادیکال انتروپوسوس می توانند از آنتی اکسیدان های فنولیک ماند. برای این که که برخی از گونه های لاکتوپاسیلوس می توانند از آنتی اکسیدان های فنولیک به عنوان سوبسترا استفاده کنند (۳۹).

فنول کل: نتایج آنالیز واریانس نشان داد که اثر فاکتور زمان و غلظت اسید گلوتامیک بر میزان فنول معنی دار بود ( $P \leq 0.05$ ). همانطور که در شکل ۲ الف مشاهده می شود با گذشت زمان تا ۴۸ ساعت میزان فنول کل افزایش و سپس کاهش یافته است. همچنین با افزایش غلظت اسید گلوتامیک تا  $500 \text{ mg L}^{-1}$  مقدار فنول کل افزایش و سپس کاهش یافت (شکل ۲ ب).

آنتی اکسیدانی در عصاره گردو نسبت داده شده است (۳۵). ماست سین بیوتیک (حااوی لاکتیکازی پاسیلوس پاراکازی و جلبک اسپرولینا) بالاترین فعالیت مهار رادیکال را نشان داد. فعالیت مهار رادیکال ماست تولید شده عمدهاً به علت حضور ترکیبات زیست فعال از جمله کاروتونوئیدها، آلفا توکوفرول، کلروفیل اسپرولینا می باشد (۳۶). موسوی و همکاران (۲۰۱۳) گزارش کردند که تخمیر اسید لاکتیکی توسط دوسویه پروبیوتیکی (لاکتوپاسیلوس پلانتاروم و لاکتوپاسیلوس اسیدوفیلوس) در آب انار، فعالیت آنتی اکسیدانی را به طور قابل توجهی بهبود بخشید. آنها اظهار کردند که گلوکز موجود در ساختار آنتوکسیانین ها احتمالاً توسط باکتری ها به عنوان منبع انرژی مصرف می شود. در نتیجه اگلیکون های مرتبط با اثر مهار رادیکال بالاتر تولید می شود که منجر به تولید برخی متابولیت ها با فعالیت آنتی اکسیدانی در طی تخمیر می شود (۴۵). طی بررسی تأثیر تخمیر بر فعالیت آنتی اکسیدانی توسط سویه های لاکتوپاسیلوس آپیس و ساکارومایسیس سروزیه، در سبوس برنج مشخص شد که فعالیت مهارکنندگی DPPH و ABTS در نمونه های تخمیر شده به دلیل تولید متابولیت های خاص مانند اسیدهای آلی، اسیدهای آمینه، پیتیدها و کتون ها افزایش یافت. این افزایش به ترکیبات فیتوکمیکال نسبت داده شد که از فرم متصل به فرم آزاد مانند اسیدهای فولیک آزاد تبدیل شدند (۳۷). ملکی همکاران (۲۰۱۵) گزارش کردند که فرآیند تخمیر، دمای فرآیند و حجم مایه تلقیح اثر معنی داری بر مهار رادیکال DPPH دارد. همچنین دلیل افزایش



شکل ۲- تاثیر (الف) زمان و (ب) غلظت اسید گلوتامیک بر مقدار فنول کل تولید شده توسط لاکتوبراسیلوس بروویس *NCL912* در محیط کشت آب پنیر

Figure 2. Effect of (A) time and (B) glutamic acid concentration on the amount of total phenols produced by *Lactobacillus brevis NCL912* in whey culture medium

\*حروف لاتین کوچک در هر ستون نشان‌دهنده اختلاف معنی‌دار بین تیمارها است ( $P \leq 0.05$ ).

تا رسیدن به ۷۲ ساعت مقدار آن کاهش یافت. بیشترین و کمترین میزان فنول کل به ترتیب مربوط به نمونه شاهد-زمان ۷۲ ساعت ( $902/3 \mu\text{g mL}^{-1}$ ) معادل اسید گالیک در  $\text{mL}^{-1}$  و نمونه ۴۸-زمان ۵۰۰  $\text{mg L}^{-1}$  (ساعت ۱۲۸۵  $\mu\text{g mL}^{-1}$ ) معادل اسید گالیک در  $\text{mL}^{-1}$  مشاهده شد. تحقیقات مختلفی تولید این ترکیبات توسط باکتری‌های اسید لاكتیکی در محیط تخمیری

نتایج مقایسه میانگین نشان داد که در تمام زمان‌ها با افزایش غلظت اسید گلوتامیک تا  $500 \text{ mg L}^{-1}$  مقدار فنول کل افزایش و سپس با افزایش غلظت به  $1000 \text{ mg L}^{-1}$  مقدار فنول کل کاهش یافت (جدول ۲). همانطور که در جدول ۲ مشاهده می‌شود در همه غلظت‌های اسید گلوتامیک اضافه شده به محیط کشت تا ۴۸ ساعت اول میزان فنول کل افزایش و در ادامه

ایجاد شده توسط باکتری اسیدلاکتیک اسیداسیون این ترکیبات را کاهش می دهنند و باعث حفاظت از آنها در طول تخمیر می شوند (۴۱). علت کاهش ترکیبات فنولی در برخی از نمونه های تیمار شده می تواند ناشی از اسیداسیون و پلیمریزاسیون ترکیبات فنولی در طول تخمیر باشد. همچنین گزارش شده است که تخریب میکروبی ممکن است باعث برش و هیدروکسیل شدن حلقه آروماتیک در پلی فنول ها و کاهش ترکیبات فنولی شود (۴۲).

ثبت کرده است. طبق نظر کورهون (۲۰۰۹) پروتئولیز فرآورده های لبنی ممکن است سبب آزاد شدن آمینواسیدهای با زنجیر جانبی فنول مثل تیروزین شود و مقدار ترکیبات فنول کل را افزایش دهد (۴۰). علت افزایش ترکیبات فنولی در طول زمان تخمیر ممکن است به دلیل آنزیم های هیدرولیتیک ترشح شده توسط برخی سویه های اسیدلاکتیک باشد که ترکیبات فنولی و فلاونوئیدی متصل را به صورت محلول و نامحلول آزاد می کند. علاوه بر این محیط اسیدی

جدول ۲- اثر غلظت اسید گلوتامیک و زمان بر مقدار فنول کل تولید شده توسط لاکتوبراسیلوس برویس NCL912 در محیط کشت آب پنیر  
Table 2. Effect of glutamic acid concentration and time on the amount of total phenols produced by *Lactobacillus brevis* NCL912 in whey culture medium

نوع باکتری (Type of bacteria)	زمان (h) (Time (h))	غلظت اسید گلوتامیک (mg L <sup>-1</sup> )			Glutamic acid concentration (mg L <sup>-1</sup> )
		۱۰۰	۵۰۰	۲۵۰	
لاکتوبراسیلوس برویس NCL912	۲۴	۹۷۱/۶ ± ۷۳/۴ <sup>b</sup>	۱۰۸۱/۴ ± ۵۲/۷ <sup>b</sup>	۹۴۴/۸ ± ۴۷/۹ <sup>c</sup>	۹۴۳/۳ ± ۱۳۵/۱ <sup>cd*</sup>
<i>Lactobacillus brevis</i>	۴۸	۱۱۱۵/۳ ± ۴۴/۹ <sup>b</sup>	۱۲۸۵/۷ ± ۱۱۳/۷ <sup>a</sup>	۱۰۱۰/۰ ± ۴۸/۴ <sup>b</sup>	۹۳۴/۰ ± ۴۹/۳ <sup>cd</sup>
NCL912	۷۲	۹۲۲/۵ ± ۲۵/۷ <sup>cd</sup>	۱۰۴۶/۵ ± ۳۸/۰ <sup>b</sup>	۹۸۸/۶ ± ۱۰/۹ <sup>c</sup>	۹۰۲/۳ ± ۹/۶ <sup>d</sup>

\*حروف لاتین کوچک در هر ستون نشان دهنده اختلاف معنی دار بین تیمارها است ( $P \leq 0.05$ ).

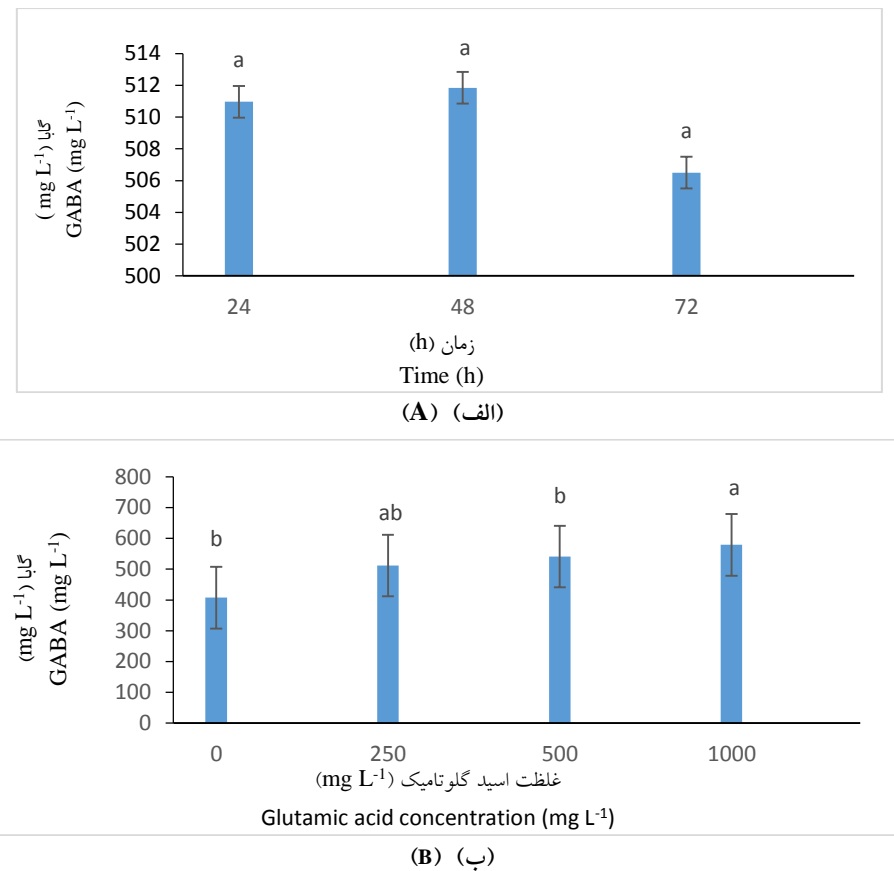
همکاران (۲۰۲۱) و موسوی و همکاران (۲۰۱۳) به ترتیب در نوشیدنی تخمیری بر پایه شیر برج قهواری و آب انار گزارش کردند (۴۵، ۳۹). ماست سین بیوتیکی تهیه شده با سویه لاکتیکازی باسیلوس پاراکازی و جلبک اسپرولینا بالاترین سطح فنول کل را نسبت به سایر نمونه ها نشان دادند (۳۶). این محققان افزایش فنول در ماست سین بیوتیکی به دلیل فعالیت تخمیری باکتری های پرو بیوتیکی نسبت دادند. تغییرات در محتوای پلی فنول ها در طول تخمیر ممکن است به دلیل تخریب، تبدیل و سنتز آنها در طول رشد و فرآیندهای متابولیکی میکرو اگانیسم ها باشد.

بررسی میزان گابا: نتایج آنالیز واریانس نشان داد که فاکتور زمان اثر معنی داری بر میزان گابا ندارد ( $0.05 > P$ ) هر چند که تا ۴۸ ساعت مقدار گابا افزایش ولی در ادامه در ۷۲ ساعت مقدار آن کاهش یافت. با

جعفری و صارم نژاد (۲۰۲۰) گزارش کردند که اثر تخمیر همزمان شیر با کشت های آغازگر ماست و لاکتوبراسیلوس ساکتی منجر به افزایش فنول های نمونه تخمیر شده نسبت به شاهد شد. متابولیسم میکروبی ترکیبات فنولی و همچنین تولید اسیدهای فنولیک جدید در طی فرآیند اسیدی شدن ماست به عنوان عامل احتمالی افزایش ترکیبات فنولی گزارش شد (۴۳). Maleki و همکاران (۲۰۱۵) اظهار کردند که مقدار محتوای فنول کل ترکیبات فنولی شیر فندق تخمیر شده در طی تخمیر توسط دانه های کفیر کاهش یافته و بعد از ۴۸ ساعت تخمیر از mg of GAE/100 mL ۱۳۰/۴۲ ± ۱/۴۲ mg of GAE/100 mL ۹۱/۷۵ ± ۳/۲۳ GAE/100 mL کاهش یافت (۴۴). آن ها متابولیسم ترکیبات فنولی توسط میکرو اگانیسم های دانه کفیر را علت این کاهش دانستند. نتایج مشابهی توسط کیتی بونچاکول و

تبدیل و پس از تبدیل آن به سوکسینات وارد چرخه اسیدسیتریک می‌شود و در نهایت می‌تواند مجدداً به گلوتامیک اسید تبدیل شود (۴۶). با این حال در این بررسی حضور گابا در نمونه‌های شاهد (فاقد اسید گلوتامیک) مشاهده شد. علت آن را می‌توان به حضور سویه لاکتوپاسیلوس بروویس *NCL912* و وجود آنزیم گلوتامیک اسید دکربوکسیلاز در این میکرووارگانیسم نسبت داد. علاوه بر این در پودر آب پنیر اسید گلوتامیک حدود ۱۵٪ اسیدهای آمینه موجود را تشکیل می‌دهد که می‌تواند به عنوان سوبسترا برای این آنزیم مطرح باشد. مکانیسم سنتز گابا از مسیر آلفا-دکربوکسیلاسیون ال-گلوتامات در این سویه میکروبی تأیید شده است (۹).

افزایش مقدار گلوتامیک اسید مقدار گابا به صورت معنی‌دار افزایش یافت ( $P \leq 0.05$ ). طوریکه بیشترین مقدار در غلظت  $1000 \text{ mg L}^{-1}$  مشاهده شد (شکل ۳). ترکیب مواد مغذی از جمله افزودنی محیطی مثل گلوتامات از عوامل اصلی مؤثر بر تولید گابا در طی تخمیر است. چون میکرووارگانیسم سوبستراتی لازم برای تولید گابا از طریق آنزیم گلوتامات دکربوکسیلاز در طی مدت زمان تخمیر در دسترنس دارند. افزایش میزان گابا با افزایش غلظت اسید گلوتامیک در آب پنیر را می‌توان به دکربوکسیلاسیون اسید گلوتامیک توسط آنزیم گلوتامات دکربوکسیلاز نسبت داد. در طی زمان گاما آمینو بوتیریک اسید توسط یک حامل به داخل میتوکندری منتقل شده و به سوکسینیک سمی آلدئید



شکل ۳- تاثیر (الف) زمان و (ب) غلظت اسید گلوتامیک بر مقدار گابا تولید شده توسط لاکتوپاسیلوس بروویس *NCL912* در محیط کشت آب پنیر

Figure 3. Effect of (A) time and (B) glutamic acid concentration on the amount of GABA produced by *Lactobacillus brevis NCL912* in whey culture medium

\* حروف لاتین کوچک در هر ستون نشان‌دهنده اختلاف معنی‌دار بین تیمارها است ( $P \leq 0.05$ ).

می‌باید زیرا این pH باعث کاهش فعالیت آنزیم گلوتامات دکربوکسیلاز می‌شود اما در محدوده pH بهینه شده بسته به نوع و شرایط محصول فرآوری به علت این که این آنزیم حداکثر فعالیت را دارد بیشترین میزان گابا حاصل می‌شود (۴۸). نتایج تحقیقات نشان می‌دهد که با افزایش زمان تخمیر میزان گابای تولیدی نیز افزایش می‌باید این امر می‌تواند به دلیل افزایش تعداد باکتری و افزایش بازده تبدیل سوبسترا به گابا باشد. البته به مرور زمان و ورود به فاز مرگ و نیز عدم وجود شرایط مناسب رشد باکتری از میزان تولید کاسته می‌شود (۴۹). تولید گابا در فاز رشد باکتری آغاز شده و نزدیک به فاز سکون به دلیل افزایش فعالیت آنزیم گلوتامیک اسید دکربوکسیلاز این میزان تولید بیشتر می‌شود. افزایش غلظت سوبسترا تا نقطه بهینه منجر به بیشترین میزان گابا می‌شود اما پس از نقطه بهینه موجب کاهش گابا می‌شود (۵۰).

نتایج مقایسه میانگین نشان داد که در یک زمان مشخص مقدار گابا با افزایش غلظت گلوتامیک اسید به طور معنی‌دار افزایش یافت ( $P \leq 0.05$ )، بطوری که بیشترین مقدار گابا مربوط به نمونه‌های حاوی  $L^{-1}$   $1000\text{ mg}$  اسید گلوتامیک بود. همچنین در یک غلظت مشخص با افزایش زمان تا ۴۸ ساعت مقدار گابا بطور معنی‌دار افزایش ولی در زمان ۷۲ ساعت کاهش یافت (جدول ۳). کمترین و بیشترین میزان گابا به ترتیب مربوط به نمونه‌های غلظت‌های  $L^{-1}$   $mg L^{-1} 401/0 \pm 1/1$  و  $591/3 \pm 2/6$   $mg L^{-1}$   $1000 - 24$  ساعت ( $401/0 \pm 1/1$   $mg L^{-1}$ ) به دست آمد. گابا به طور طبیعی در شیر و فرآورده‌های آن یافت می‌شود زیرا کازئین شیر غنی از اسید گلوتامیک است. مقدار گابا بسته به پروتئولیز کازئین تغییر می‌کند. زیرا اسید گلوتامیک آزاد می‌شود و فعالیت متابولیکی میکروبی را تغییر می‌دهد (۴۷). علت کاهش گابا در نمونه‌های آب پنیر می‌تواند ناشی از تغییرات pH (۴/۵) باشد. میزان گابا در pH ۴ پایین مانند ۴ کاهش

جدول ۳- اثر غلظت اسید گلوتامیک و زمان بر مقدار گابا تولید شده توسط لاکتوبراسیلوس برویس NCL912 در محیط کشت آب پنیر

Table 3. Effect of glutamic acid concentration and time on the amount of GABA produced by *Lactobacillus brevis* NCL912 in whey culture medium

نوع باکتری (Type of bacteria)	زمان (h) (Time (h))	غلظت اسید گلوتامیک (mg L <sup>-1</sup> )			Glutamic acid concentration (mg L <sup>-1</sup> )
		۱۰۰	۵۰۰	۲۵۰	
لاکتوبراسیلوس برویس NCL912	۲۴	$591/0 \pm 3/2^a$	$550/3 \pm 10/8^b$	$501/3 \pm 2/6^c$	$401/3 \pm 2/9^{d*}$
<i>Lactobacillus brevis</i> NCL912	۴۸	$581/7 \pm 1/4^a$	$531/7 \pm 6/1^b$	$520/3 \pm 4/2^{bc}$	$413/7 \pm 2/7^d$
	۷۲	$564/0 \pm 3/2^{ab}$	$541/0 \pm 6/0^b$	$514/0 \pm 1/5^c$	$407/0 \pm 1/1^d$

\*حروف لاتین کوچک در هر ستون نشان‌دهنده اختلاف معنی‌دار بین تیمارها است ( $P \leq 0.05$ )

بیوتیک‌های اینولین به آژینات باشد که منجر به افزایش پایداری لاکتوبراسیلوس برویس G42 تثیت شده و افزایش بهره‌وری گابا شود. کیم و همکاران (۲۰۰۷) میزان گابای تولیدی شیر سویای تخمیر شده را ppm ۴۲۶/۶۷ گزارش کردند که علت آن به وجود منبع کربن مناسب به همراه منع ازت پروتئین می‌باشد (۵۲).

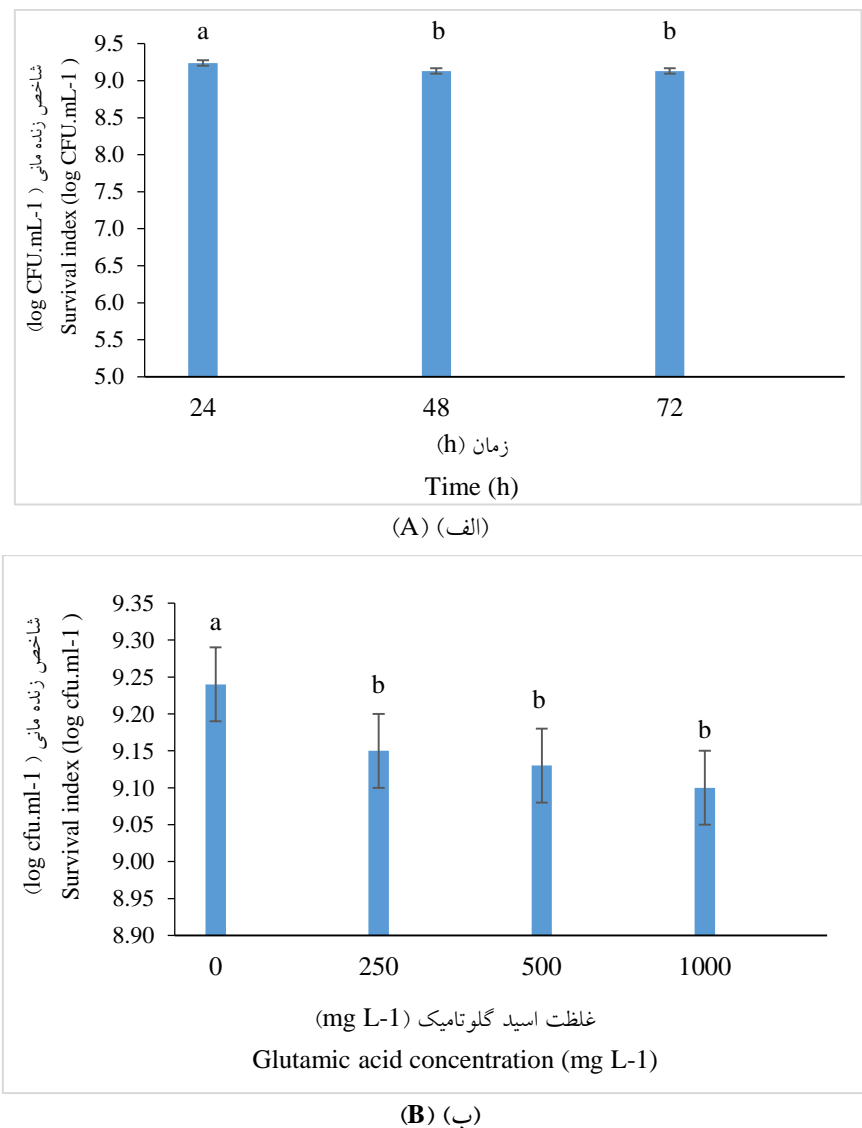
کریمی (۲۰۲۰)، بیان کرد که لاکتوبراسیلوس برویس G42 میکروکپسوله شده در مدت زمان ۱۲۰ ساعت ۳۲۴/۹ mg/L گابا تولید کرد. در حالی که در محیط MRS در مدت زمان مشابه گابای تولید شده توسط سلول‌های آزاد ۲۴۱/۱۸ mg/L گزارش شد (۵۱). افزایش تولید گابا می‌تواند به دلیل اضافه شدن پری-

ساعت) تأثیرگذار بود. آب پنیر به دلیل داشتن سطح بالای قند لاکتوز (بالای ۷۰ درصد)، پروتئین‌های محلول در آب (پتا لاکتوگلوبولین و آلفا لاکتوآلبومن) منبع بسیار خوبی جهت فعالیت باکتری‌های پروریوتیک است. حضور پروتئین‌های محلول در آب به علت قابل تجزیه بودن توسط باکتری‌های پروریوتیک و همچنین جلوگیری از کاهش شدید pH باعث شده است، آب پنیر به عنوان ترکیب افزایش دهنده رشد و قابلیت زنده‌مانی باکتری‌های پروریوتیک نقش موثری ایفا نمود (۵۵).

نتایج مقایسه میانگین نشان داد که بیشترین و کمترین مقدار شاخص زنده‌مانی به ترتیب مربوط به cfu. mL<sup>-۱</sup> ۰ mg L<sup>-۱</sup> اسید گلوتامیک-۲۴ ساعت (NCL912) و ۱۰۰۰ mg L<sup>-۱</sup> اسید گلوتامیک-۲۶ ساعت (۹/۷۰±۰/۲۶) بود (جدول ۴). زنده‌مانی و بقای باکتری‌های اسیدلاکتیک در محصولات لبنی پروریوتیکی به عوامل مختلفی بستگی دارد که از مهم‌ترین آن‌ها می‌توان به شرایط کشت، میزان اکسیژن محلول، سطح تلکیح و گونه‌های پروریوتیکی به کاربرده اشاره کرد (۵۶). تفاوت در رشد باکتری‌های پروریوتیکی در طول تخمیر به خصوصیات ساختاری باکتری مربوط می‌باشد. یعنی بسته به نوع سویه به کاربرده شده در یک محیط تخمیر هر کدام بقا و زنده‌مانی متفاوتی را نشان می‌دهند (۵۷). با افزایش زمان تخمیر (در مرحله‌ی ابتدایی تخمیر) جمعیت باکتری‌ها افزایش می‌یابد ولی با ادامه روند تخمیر جمعیت باکتری‌ها کاهش می‌یابد. محققان دلیل این امر را اینگونه بیان کردند که با افزایش زمان تخمیر، کاهش مواد مغذی از یک طرف و تولید اسید و کاهش pH از طرف دیگر زنده‌مانی این نوع باکتری‌ها را می‌یابد (۵۵).

فلاح و همکاران (۲۰۲۰) نشان دادند که با افزایش زمان تخمیر از ۲۴ h به ۷۲ h میزان گابا تولیدی نیز افزایش یافت (۵۸). این امر می‌تواند به دلیل افزایش تعداد باکتری و افزایش بازده تبدیل مونوسدیم گلوتامات به گابا باشد که با مطالعه کیم و همکاران (۲۰۰۷) مطابقت داشت (۵۹). در تحقیق الهامی راد و همکاران (۲۰۲۱) میزان بهینه غلظت شیر سویا ۶٪ به دست آمد و دیده شد که با افزایش غلظت تا نقطه بهینه مقدار گابا نیز افزایش می‌یابد. اما پس از آن موجب کاهش گابا می‌گردد (۶۰). این نتیجه می‌تواند از آنجا ناشی شود که غلظت بیش از حد در محیط تخمیر موجب وارد آوردن فشار اسمزی بالا و توقف متابولیسم باکتری و در نتیجه غلظت گابای تولیدی کاهش یابد. در ماست سین بیوتیکی حاوی جلبک اسپرولینا بالاترین سطح گابا را در پایان ذخیره‌سازی مشاهده شد که علت آن را محتوای بالای اسید گلوتامیک جلبک اسپرولینا و pH ۴/۵ ایجاد شده ناشی از تخمیر که منجر به فعالیت بالایی اسید گلوتامیک دکربوکسیلаз می‌شود دانستند (۶۱).

**بررسی زنده‌مانی:** نتایج آنالیز واریانس نشان داد که اثر هر دو فاکتور زمان و غلظت اسید گلوتامیک بر شاخص زنده‌مانی باکتری لاکتوپاسیلوس برویس NCL912 معنی دار است ( $P \leq 0/05$ ). بیشترین مقدار زنده‌مانی مربوط به زمان ۲۴ ساعت و غلظت  $L^{-1}$  ۰ اسید گلوتامیک است و با افزایش زمان و افزایش غلظت اسید گلوتامیک زنده‌مانی کاهش می‌یابد ( $P \leq 0/05$ ) (شکل ۴). زنده‌مانی از  $9/24 \log \text{cfu. ml}^{-1}$  در ۲۴ ساعت به  $9/13 \log \text{cfu. ml}^{-1}$  در ۴۸ و ۷۲ ساعت کاهش یافته که مقدار ناچیزی است علاوه بر این تولید، تجمع گابا و مصرف آن در چرخه اسیدسیتریک بر مقدار نهایی گابا در هر زمان (۲۴، ۴۸ و ۷۲



شکل ۴- تاثیر (الف) زمان و (ب) غذلنت اسید گلوتامیک بر زنده مانی باکتری

Figure 4. Effect of (A) time and (B) glutamic acid concentration on bacterial survival

\* حروف لاتین کوچک در هر ستون نشان دهنده اختلاف معنی دار بین تیمارها است ( $P \leq 0.05$ )

جدول ۴- اثر غذلنت اسید گلوتامیک و زمان بر مقدار گابا تولید شده توسط لاکتوبراسیلوس برویس *NCL912* در محیط کشت آب پنیر

Table 4. Effect of glutamic acid concentration and time on the amount of GABA produced by *Lactobacillus brevis NCL912* in whey culture medium

نوع باکتری (Type of bacteria)	زمان (h) (Time (h))	غذلنت اسید گلوتامیک (mg L <sup>-1</sup> )			
		Glutamic acid concentration (mg L <sup>-1</sup> )	1000	500	250
<i>NCL912</i>	24	9/07 ± 0/03 <sup>b</sup>	9/10 ± 0/05 <sup>b</sup>	9/09 ± 0/04 <sup>b</sup>	9/07 ± 0/26 <sup>a</sup>
	48	9/09 ± 0/04 <sup>b</sup>	9/18 ± 0/04 <sup>b</sup>	9/18 ± 0/02 <sup>b</sup>	9/08 ± 0/06 <sup>b</sup>
	72	9/14 ± 0/03 <sup>b</sup>	9/10 ± 0/04 <sup>b</sup>	9/18 ± 0/01 <sup>b</sup>	9/11 ± 0/06 <sup>b</sup>

\* حروف لاتین کوچک در هر ستون نشان دهنده اختلاف معنی دار بین تیمارها است ( $P \leq 0.05$ )

### نتیجه‌گیری کلی

با توجه به اثرات فیزیولوژیکی گابا در درمان ناهنجاری‌های نورولوژیکی متعدد، می‌توان از آن به عنوان یک ترکیب زیست فعال در غذاها استفاده کرد. از آنجایی که افروند مستقیم گابای ستر شده شیمیایی به غذاها غیر این‌تلقی می‌شود. بنابراین با استفاده از باکتری‌های که توانایی تولید گابا را داشته باشند مانند باکتری لاکتوپاسیلوس بروویس *NCL912* می‌توان غذاهای فراسودمند با خواص تغذیه‌ای مطلوب تولید کرد. از طرف دیگر آب پنیر به عنوان فراوان‌ترین ضایعات حاصل از صنعت پنیر سازی است اما به علت دارا بودن ترکیبات بالارزش تغذیه‌ای محصولی مناسب برای کاربرد در صنایع غذایی و محیط کشت باکتری‌های پروبیوتیکی است. بنابراین هدف پژوهش حاضر بهینه‌سازی تولید گابا توسط لاکتوپاسیلوس بروویس *NCL912* در غلاظت‌های مختلف اسید‌گلوتامیک در آب پنیر انجام شد. احتمال تولید گابا توسط HPLC سنجیده شد و نتایج نشان داد که استفاده توأم از اسید‌گلوتامیک و باکتری لاکتوپاسیلوس بروویس *NCL912* و یا کاربرد لاکتوپاسیلوس بروویس *NCL912* به تنهایی منجر به افزایش میزان گابا در نمونه‌ها شد. همچنین میزان ترکیبات فنولی، ظرفیت آنتی‌اکسیدانی و زنده‌مانی باکتری پروبیوتیکی را در محیط آب پنیر در هر دو حالت، افزایش یافتند. با توجه به نتایج حاصل امکان تولید نوشیدنی تخمیری بر پایه آب پنیر تقویت شده با گابا توسط لاکتوپاسیلوس بروویس *NCL912* وجود دارد.

در بررسی سویه و زمان نگهداری بر روی زنده مانی بیفیدوپاکتریوملاکتیس (BB-12) و لاکتوپاسیلوس اسیدوفیلوس (la-5) در تولید کره لاکتیکی مشاهده شد که زمان بر زنده مانی باکتری‌های بیفیدوپاکتریوملاکتیس (BB-12) و لاکتوپاسیلوس اسیدوفیلوس (la-5) در روزهای ۱۵ و ۳۰ تأثیر معنی داری دارد و در سایر زمان‌های مورد بررسی تأثیر معنی داری مشاهده نکردند (۵۶).

گرواند و همکاران (۲۰۲۲)، اشاره کردند که در ماست سین بیوتیکی حاوی جلبک اسپرولینا زنده‌مانی سویه مربوطه در نمونه در طول دو هفته اول نگهداری حالت صعودی را نشان داد و بعد از دو هفته حالت نزولی در نمونه ماست سین بیوتیکی مشاهده شد. همچنین در نمونه‌ها قابلیت زنده‌مانی کاهش یافت که علت آن را اسیدی بیشتر ماست به دلیل نرخ بالاتر تخمیر دانستند (۳۶). چون متابولیت‌های مثل اسیدهای آلی pH را به حد بحرانی کاهش می‌دهند که باعث مهار یا کند شدن رشد باکتری می‌گردد. در بررسی تأثیر عصاره پوست انار بر زنده‌مانی پروبیوتیک‌ها در آبمیوه انار مشاهده شد که بعد از دو هفته نگهداری بیشترین تعداد باکتری زنده برای لاکتوپاسیلوس پلاتارتروم و لاکتوپاسیلوس دلبروکی به ترتیب با میزان  $4/7 \times 10^9$  cfu. mL<sup>-1</sup> و  $4 \times 10^9$  cfu. mL<sup>-1</sup> حاصل شد (۵۸). این محققان اشاره کردند که ترکیبات فنولی موجود در عصاره پوست انار نقش اثرگذاری در رشد و زنده‌مانی سویه‌ها اعمال کرده است.

### منابع

1. Sady, M., Jaworska, G., Grega, T., Bernas, E., & Domagala, J. 2013. Application of acid whey in orange drink production. *Food Technology and Biotechnology*, 51(2), 266.
2. Bensmira, M., & Jiang, B. 2012. Effect of some operating variables on the microstructure and physical properties of a novel Kefir formulation. *Journal of Food Engineering*, 108(4), 579-584.
3. Bekiş, P. 2019. Peynir altı suyunun kefirde kullanım olanaklarının araştırılması (Master's thesis, Fen Bilimleri Enstitüsü).

4. Pescuma, M., Hébert, E. M., Mozzi, F., & De Valdez, G. F. 2010. Functional fermented whey-based beverage using lactic acid bacteria. *International journal of food microbiology*, 141(1-2), 73-81.
5. Ebrahimi, N., & Nejati, F. 2018. Production of beta-galactosidase from whey using *Kluyveromyces marxianus*. *Journal of Food Microbiology*, 5(2), 53-62.
6. Mazur, R., Kovalovská, K., & Hudec, J. 2011. Changes in selectivity of gamma-aminobutyric acid formation effected by fermentation conditions and microorganisms' resources. *Journal of microbiology, biotechnology and food sciences*, 1(2), 164-171.
7. Hou, D., Tang, J., Feng, Q., Niu, Z., Shen, Q., Wang, L., & Zhou, S. 2023. Gamma-aminobutyric acid (GABA): A comprehensive review of dietary sources, enrichment technologies, processing effects, health benefits, and its applications. *Critical reviews in food science and nutrition*, 1-23.
8. Lee, E. J., & Lee, S. P. 2014. Novel bioconversion of sodium glutamate to  $\gamma$ -amino butyric acid by co-culture of *Lactobacillus plantarum* K154 in *Ceriporia lacerata* culture broth. *Food Science and Biotechnology*, 23, 1997-2005.
9. Santos-Espinosa, A., Beltrán-Barrientos, L. M., Reyes-Díaz, R., Mazorra-Manzano, M. Á., Hernández-Mendoza, A., González-Aguilar, G. A., ... & González-Córdova, A. F. 2020. Gamma-aminobutyric acid (GABA) production in milk fermented by specific wild lactic acid bacteria strains isolated from artisanal Mexican cheeses. *Annals of Microbiology*, 70(1), 1-11.
10. Vasiee, A., Alizadeh Behbahani, B., Tabatabaei Yazdi, F., Mortazavi, S. A., & Noorbakhsh, H. 2018. Diversity and probiotic potential of lactic acid bacteria isolated from horreh, a traditional Iranian fermented food. *Probiotics and antimicrobial proteins*, 10, 258-268.
11. Li, H., Qiu, T., Huang, G., & Cao, Y. 2010. Production of gamma-aminobutyric acid by *Lactobacillus brevis* NCL912 using fed-batch fermentation. *Microbial Cell Factories*, 9, 1-7.
12. Parsapour, P., Nateghi, L., & Rajaei, P. 2021. Investigating the possibility of producing GABA in yogurt using *Lactobacillus brevis*.
13. Chua, J. Y., Koh, M. K. P., & Liu, S. Q. 2019. Gamma-aminobutyric acid: a bioactive compound in foods. *Sprouted grains*, 25-54.
14. Shan, Y., Man, C. X., Han, X., Li, L., Guo, Y., Deng, Y., ... & Jiang, Y. J. 2015. Evaluation of improved  $\gamma$ -aminobutyric acid production in yogurt using *Lactobacillus plantarum* NDC75017. *Journal of dairy science*, 98(4), 2138-2149.
15. Mazzoli, R., Bosco, F., Mizrahi, I., Bayer, E. A., & Pessone, E. 2014. Towards lactic acid bacteria-based biorefineries. *Biotechnology Advances*, 32(7), 1216-1236.
16. Yang, S. Y., Lü, F. X., Lu, Z. X., Bie, X. M., Jiao, Y., Sun, L. J., & Yu, B. 2008. Production of  $\gamma$ -aminobutyric acid by *Streptococcus salivarius* subsp. *thermophilus* Y2 under submerged fermentation. *Amino acids*, 34, 473-478.
17. Greenwood, M., Kalman, D. S., Antonio, J., & Rasmussen, C. J. 2008. Nutritional supplements for endurance athletes. *Nutritional supplements in sports and exercise*, 369-407.
18. Zarei, F., Nateghi, L., Eshaghi, M. R., & Abadi, M. E. T. 2020. Production of gamma-aminobutyric acid (GABA) in whey protein drink during fermentation by *Lactobacillus plantarum*. *Journal of microbiology, biotechnology and food sciences*, 9(6), 1087-1092.
19. Cunha, D. S., Coelho, M. C., Ribeiro, S. C., & Silva, C. C. 2022. Application of *Enterococcus malodoratus* SJC25 for the manufacture of whey-based beverage naturally enriched with GABA. *Foods*, 11(3), 447.
20. Dogahe, M. K., Khosravi-Darani, K., Tofighi, A., Dadgar, M., & Mortazavian, A. M. 2014. Effect of process variables on survival of bacteria in probiotics enriched pomegranate juice. *British Biotechnology Journal*, 5(1), 37-50.
21. KETABCHI, M., IEZZAZADEH, K., & MASSIHA, A. 2017. EVALUATE THE INHIBITORY ACTIVITY OF ZNO NANOPARTICLES AGAINST STANDARD STRAINS AND ISOLATES OF STAPHYLOCOCCUS AUREUS AND ESCHERICHIA COLI ISOLATED FROM FOOD SAMPLES.

22. Swakhi, F., Far, R. S., Nejad, S. P., & Dadkhah, A. 2017. Evaluation of *Lactobacillus acidophilus* and *Bifidobacterium lactis* and their effect on the physical properties of apple juice.
23. Amiri, S., Mokarram, R. R., Khiabani, M. S., Bari, M. R., & Khaledabad, M. A. 2019. Exopolysaccharides production by *Lactobacillus acidophilus* LA5 and *Bifidobacterium animalis* subsp. *lactis* BB12: optimization of fermentation variables and characterization of structure and bioactivities. International journal of biological macromolecules, 123, 752-765.
24. Salla, A. C. V., Margarites, A. C., Seibel, F. I., Holz, L. C., Brião, V. B., Bertolin, T. E., ... & Costa, J. A. V. 2016. Increase in the carbohydrate content of the microalgae *Spirulina* in culture by nutrient starvation and the addition of residues of whey protein concentrate. Bioresource Technology, 209, 133-141.
25. Mortazavi, S. A., & Sarabi Jamab, M. 2021. Identification of gamma aminobutyric acid produced by *Lactobacillus brevis* PML1 by Thin layer chromatography method in culture medium containing monosodium glutamate (MSG). Journal of food science and technology (Iran), 18(120), 379-387.
26. Jayaprakasha, G. K., & Patil, B. S. 2007. In vitro evaluation of the antioxidant activities in fruit extracts from citron and blood orange. Food chemistry, 101(1), 410-418.
27. Abdel-Hamid, M., Huang, Z., Suzuki, T., Enomoto, T., Hamed, A. M., Li, L., & Romeih, E. 2020. Development of a multifunction set yogurt using *Rubus suavissimus* S. Lee (Chinese sweet tea) extract. Foods, 9(9), 1163.
28. Liu, Z. P., Song, C., Wang, M., He, Y., Xu, X. B., Pan, H. Q., ... & Pan, B. X. 2014. Chronic stress impairs GABAergic control of amygdala through suppressing the tonic GABA<sub>A</sub> receptor currents. Molecular Brain, 7, 1-14.
29. Mortazavian, A. M., Ehsani, M. R., Mousavi, S. M., Reinheimer, J. A., Emamjomeh, Z., Sohrabvandi, S., & Rezaei, K. 2006. Preliminary investigation of the combined effect of heat treatment and incubation temperature on the viability of the probiotic micro- organisms in freshly made yogurt. International Journal of Dairy Technology, 59(1), 8-11.
30. Prasantha, B. R., & Wimalasiri, K. M. S. 2019. Effect of HTST Thermal Treatments on End- Use Quality Characteristics of Goat Milk. International Journal of Food Science, 2019(1), 1801724.
31. Solieri, L., Rutella, G. S., & Tagliazucchi, D. 2015. Impact of non-starter lactobacilli on release of peptides with angiotensin-converting enzyme inhibitory and antioxidant activities during bovine milk fermentation. Food microbiology, 51, 108-116.
32. Wang, Y. C., Yu, R. C., & Chou, C. C. 2006. Antioxidative activities of soymilk fermented with lactic acid bacteria and bifidobacteria. Food microbiology, 23(2), 128-135.
33. Shobharani, P., Nanishankar, V. H., Halami, P. M., & Sachindra, N. M. 2014. Antioxidant and anticoagulant activity of polyphenol and polysaccharides from fermented *Sargassum* sp. International journal of biological macromolecules, 65, 542-548.
34. Kim, S. K. (Ed.). 2013. Marine proteins and peptides: biological activities and applications. John Wiley & Sons.
35. Ye, M., Ren, L., Wu, Y., Wang, Y., & Liu, Y. 2013. Quality characteristics and antioxidant activity of hickory-black soybean yogurt. LWT-Food Science and Technology, 51(1), 314-318.
36. Garavand, F., Daly, D. F., & Gomez-Mascaraque, L. G. 2022. Biofunctional, structural, and tribological attributes of GABA-enriched probiotic yoghurts containing *Lacticaseibacillus paracasei* alone or in combination with prebiotics. International Dairy Journal, 129, 105348.
37. Ghazal, A. F., Al-Maqtiri, Q. A., Li, L., & Zhao, W. (2022). Impact of a novel probiotic *Lactobacillus* strain isolated from the bee gut on GABA content, antioxidant activity, and potential cytotoxic activity against HT-29 cell line of rice bran. Journal of Food Science and Technology, 59(8), 3031-3042.
38. Karbasi, M., Mousavi, S. M., & Yarmand, M. S. 2015. Production and packaging of fermented functional beverage from date syrup by *Lactobacillus rhamnosus*. Food Processing and Preservation Journal, 7(2), 17-38.

39. Kittibunchakul, S., Yuthaworawit, N., Whanmek, K., Suttisansanee, U., & Santivarangkna, C. 2021. Health beneficial properties of a novel plant-based probiotic drink produced by fermentation of brown rice milk with GABA-producing *Lactobacillus pentosus* isolated from Thai pickled weed. *Journal of Functional Foods*, 86, 104710.
40. Korhonen, H. 2009. Milk-derived bioactive peptides: From science to applications. *Journal of functional foods*, 1(2), 177-
41. Wu, C., Li, T., Qi, J., Jiang, T., Xu, H., & Lei, H. 2020. Effects of lactic acid fermentation-based biotransformation on phenolic profiles, antioxidant capacity and flavor volatiles of apple juice. *Lwt*, 122, 109064.
42. Shahidi, F., & Yeo, J. (2016). Insoluble-bound phenolics in food. *Molecules*, 21(9), 1216.
43. Jafari, N., & Saremnezhad, S. 2020. Production of gamma-aminobutyric acid containing yogurt by using *Lactobacillus sakei* and brown rice malt extract. *Journal of food science and technology (Iran)*, 17(98), 97-108.
44. Maleki, N., Khodaiyan, F., & Mousavi, S. M. 2015. Antioxidant activity of fermented Hazelnut milk. *Food Science and Biotechnology*, 24, 107-115.
45. Mousavi, Z. E., Mousavi, S. M., Razavi, S. H., Hadinejad, M., Emam-Djomeh, Z., & Mirzapour, M. 2013. Effect of fermentation of pomegranate juice by *Lactobacillus plantarum* and *Lactobacillus acidophilus* on the antioxidant activity and metabolism of sugars, organic acids and phenolic compounds. *Food Biotechnology*, 27(1), 1-13.
46. Fait, A., Fromm, H., Walter, D., Galili, G. & Fernie, A.R., 2008. Highway or byway: the metabolic role of the GABA shunt in plants. *Trends in plant science*, 13(1), 14-19.
47. Yilmaz- Ersan, L., Sahin, S., Ozcan, T., Akpinar- Bayizit, A., Usta- Gorgun, B., Ciniviz, M., & Keser, G. 2022. Interaction of probiotic activity, antioxidative capacity, and gamma-amino butyric acid (GABA) in chestnut milk- fortified yogurt. *Journal of Food Processing and Preservation*, 46(12), e17266
48. Yakheh, S. G., Rad, A. H. E., Nateghi, L., & Varmira, K. 2021. Optimization of production conditions of soy milk GABA produced by probiotic bacteria.
49. Sharifan, A. 2021. Optimization and Modeling of Gamma Aminobutyric Acid (GABA) Extraction Conditions from *Lactobacillus brevis* IRBC10818 Affected by Heat Shock by Response Surface Methodology. *Journal of food science and technology (Iran)*, 18(118), 167-180.
50. Zareie, Z., Tabatabaei Yazdi, F., & Mortazavi, S. A. 2019. Optimization of gamma-aminobutyric acid production in a model system containing soy protein and inulin by *Lactobacillus brevis* fermentation. *Journal of Food Measurement and Characterization*, 13, 2626-2636.
51. Karimi, M. 2020. Improvement of GABA production and survival of *Lactobacillus brevis* G42 in simulated gastrointestinal conditions by soy-alginate microencapsulation. *Journal of food science and technology (Iran)*, 17(105), 47-62.
52. Kim, T. J., Sung, C. H., Kim, Y. J., Jung, B. M., Kim, E. R., Choi, W. S., ... & Yoo, S. H. 2007. Effects of a soaking-fermentation-drying process on the isoflavone and  $\gamma$ -aminobutyric acid contents of soybean. *Food Science and Biotechnology*, 16(1), 83-89.
53. Falah, F., Vasiee, A., & Mortazavi, S. A. 2020. Gamma-aminobutyric acid Synthesis by *Lactococcus lactis* strain Nz1330 in Dairy sludge medium with Monosodium glutamate. *Journal of food science and technology (Iran)*, 16(97), 89-100.
54. Elhami Rad, A. H., Nateghi, L., & Varmira, K. 2021. Optimization of Production Conditions of Soy Milk GABA Produced by Probiotic Bacteria. *Journal of Innovation in Food Science & Technology*, 13(2).
55. Marhamatizadeh, M. H., Ehsandoost, E., Gholami, P., & Mohaghegh, M. D. 2013. Effect of olive leaf extract on growth and viability of *Lactobacillus acidophilus* and *Bifidobacterium bifidum* for production of probiotic milk and yoghurt. *International Journal of Farming and Allied Sciences*, 2(17), 572-578.

- 56.Kargar Motlagh, D., & Sharifan, A. 2022. Evaluation of probiotic lactic butter production: effect of strain and storage time on probiotic viability, physicochemical, microbiological and organoleptic properties. *Journal of food science and technology (Iran)*, 19(124), 39-51.
- 57.Tahmasbi, R., Mirzaei, M., & Khani, M. R. 2021. Effect of fermentation by *Lactobacillus reuteri* and *Lactobacillus acidophilus* on antioxidant activity of quinoa extract.
- 58.Dogahe, M. K., Towfighi, A., Khosravi-Darani, K., Dadgar, M., Mortazavian, A. M., & Ahmadi, N. 2013. Influence of pomegranate peel on viability of probiotic bacteria in pomegranate juice.